

# О возможности наблюдения закона Березинского

И.М.Суслов

Институт физических проблем им. П. Л. Капицы РАН,  
119334, Москва, Россия

Локализационный закон Березинского  $\sigma(\omega) \propto -i\omega$  для частотно-зависящей проводимости никогда не подвергался сомнению, но при этом не наблюдался экспериментально. Обсуждаются возможности его наблюдения и возникающие на этом пути экспериментальные трудности.

Локализационный закон  $\sigma(\omega) \propto -i\omega$  для частотно-зависящей проводимости был получен Березинским в 1973 году [1] для одномерных неупорядоченных систем. Из самосогласованной теории Вольхардта–Вольфле [2] следует, что такой же результат справедлив в локализованной фазе для систем произвольной размерности  $d$ . Как показано в недавней работе автора [3], этот результат сохраняется в системах конечного размера  $L$  при произвольной степени беспорядка; причина этого в том, что конечная система топологически нульмерна и ее эффективная размерность меньше нижней критической ( $d_{c1} = 2$ ).

В теоретическом сообществе закон Березинского никогда не подвергался сомнению, но при этом он никогда не наблюдался экспериментально. Причина этого прояснилась после работы [3]: результат Березинского относится к закрытым системам, тогда как большинство реальных систем — открытые. В открытых же системах происходит замена  $-i\omega \rightarrow -i\omega + \gamma$  ( $\gamma$  — неупругое затухание) и зависимость  $\sigma(\omega) \propto -i\omega$  превращается в обычное металлическое поведение.

Возможность реализации закрытых систем стала ясна после наблюдения в неупорядоченных системах (в геометрии Ааронова–Бома) незатухающего тока [4, 5, 6], предсказанного в работе [7]. Фактически незатухающий ток является следствием закона Березинского, согласно которому проводимость имеет бездиссипативный характер. Условие его наблюдения состоит в том, что размер неупорядоченного колечка  $L$  должен быть мал по сравнению с неупругой длиной  $L_{in}$ , зависящей от температуры  $T$ ; характерные масштабы в указанных экспериментах составляли  $L \sim 1\mu m$ ,  $T \sim 100mK$ . Если считать, что  $L_{in} \propto T^{-2}$ , то в гелиевой области ( $T \sim 1K$ ) система остается за-

крытой при  $L \lesssim 10nm$ .

Обсудим несколько экспериментальных ситуаций, в которых возможно наблюдение закона Березинского.

1. В качестве первого варианта рассмотрим островковую пленку неупорядоченного металла, лежащую на диэлектрической подложке (рис.1). Для наглядности предположим, что островки имеют одинаковый размер  $L$ , который монотонно увеличивается в процессе напыления пленки<sup>1</sup>. Тогда при  $L \lesssim L_{in}$  будет реализовываться закон Березинского (рис.1,а), а при  $L \gtrsim L_{in}$  — обычная металлическая проводимость (рис.1,б). Переход от одного режима к другому можно наблюдать как при изменении  $L$ , так и при изменении температуры.

На первый взгляд, описанный эксперимент является очень простым, однако в нем имеется "узкое место". Из соотношения  $\epsilon \sim i\sigma/\omega$  ясно, что зависимость  $\sigma \propto -i\omega$  соответствует постоянной диэлектрической проницаемости  $\epsilon$ , так что неупорядоченная система является обычным диэлектриком. Поэтому свойства пленки в режиме закона Березинского принципиально не отличаются от свойств диэлектрической подложки, и вклад первой в проводимость оказывается пренебрежимо малым по сравнению со вкладом последней. Толщина пленки на 6–7 порядков меньше толщины подложки, но соответствующая малость может быть частично скомпенсирована большой величиной диэлектрической проницаемости пленки  $\epsilon_1$  по сравнению с ее значением  $\epsilon_0$  для подложки. По порядку величины  $\epsilon_1 \sim \xi^2/a_0^2$  ( $\xi$  — радиус

<sup>1</sup> В действительности имеется некоторое распределение островков по размеру, которое в процессе напыления сдвигается в сторону больших  $L$ .

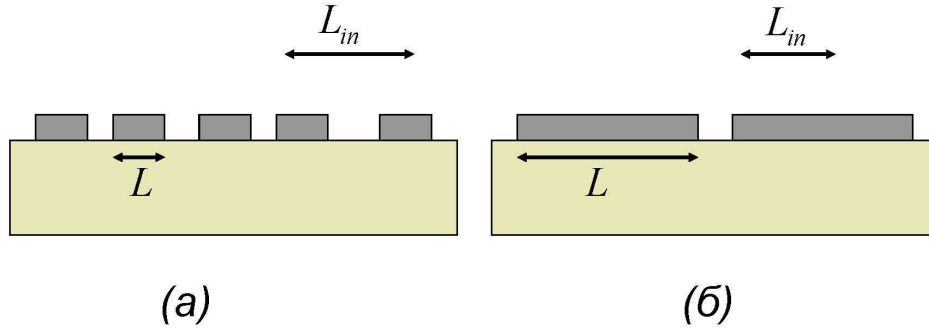


Рис. 1: В случае островковой пленки закон Березинского наблюдается при условии малости размера островков  $L$  по сравнению с неупругой длиной  $L_{in}$  (а), тогда как при обратном соотношении справедливо металлическое поведение (б).

локализации волновых функций,  $a_0$  — межатомное расстояние), с насыщением на значении  $L^2/a_0^2$  при росте  $\xi$ . Если металлическая пленка является слабо неупорядоченной<sup>2</sup>, то при  $L \sim 10nm$  ее диэлектрическая проницаемость  $\epsilon_1$  может превышать  $\epsilon_0$  на 3–4 порядка.

Процедура эксперимента представляется следующим образом. Эксперимент проводится *in situ* и начинается с измерения температурной и частотной зависимости проводимости подложки, результаты которого записываются в файл. Далее напыляется небольшое количество металлических атомов, и опять измеряется проводимость с записью результатов в файл; опять производится напыление и т.д. Двигаясь небольшими шагами, нужно выйти в режим, когда вклад пленки хорошо различим на фоне вклада подложки, после чего начинаются реальные измерения.

2. Вторым примером является наноконкомпозитная система [9, 10], представляющая собой диэлектрический образец с внедренными в него металлическими гранулами (рис.2). Объемная концентрация металла  $p$  может быть довольно большой, так что ожидается эффект порядка единицы, который выглядит легко наблюдаемым. Однако, и здесь имеется "подводный камень". Воспользуемся формулой из книги Ландау и Лифши-

ца [12]

$$\frac{\bar{\epsilon} - \epsilon_0}{\epsilon_0} = p \frac{3(\epsilon_1 - \epsilon_0)}{2\epsilon_0 + \epsilon_1} \approx 3p - 9p \frac{\epsilon_0}{\epsilon_1}, \quad (1)$$

справедливой для малой концентрации сферических гранул: она определяет среднюю диэлектрическую проницаемость  $\bar{\epsilon}$  системы (рис.2,а) через диэлектрические проницаемости диэлектрика  $\epsilon_0$  и металла  $\epsilon_1$ . Поскольку  $\epsilon_1 \gg \epsilon_0$ , то главный вклад  $3p$  представляет собой малоинтересную константу, тогда как полезный вклад, зависящий от  $\epsilon_1$ , содержит два малых параметра  $p$  и  $\epsilon_0/\epsilon_1$ . В связи с этим возникает проблема репера, т.е. необходимость иметь в качестве эталона такой же в точности образец, но без металлических гранул. К счастью, такая проблема отсутствует в одной из технологий [9, 10, 11], когда при изготовлении наноконкомпозитов используется пористое стекло, в которое внедряются металлические гранулы (с подходящим размером  $7nm$ ); тем самым один и тот же образец может измерен как при наличии, так и при отсутствии гранул. Заметим, что в рассматриваемой системе (в отличие от предыдущего случая) желательно иметь металл в сильно неупорядоченном состоянии, чтобы увеличить отношение  $\epsilon_0/\epsilon_1$ .

3. Формула (1) основана на решении известной задачи о диэлектрическом шаре во внешнем электрическом поле [12]. Поскольку решение подобной задачи возможно для эллипсоида с произвольным соотношением его полуосей  $a, b, c$  [12], то можно обобщить формулу(1) на гранулы эл-

<sup>2</sup> Слабо неупорядоченными являются пленки "простых" металлов (таких как Mg, Al, Sn), которые хорошо описываются теорией псевдопотенциала [8]; малость последнего обеспечивает слабость рассеяния даже в аморфном состоянии. Напротив, аморфные пленки переходных металлов обычно являются сильно неупорядоченными.

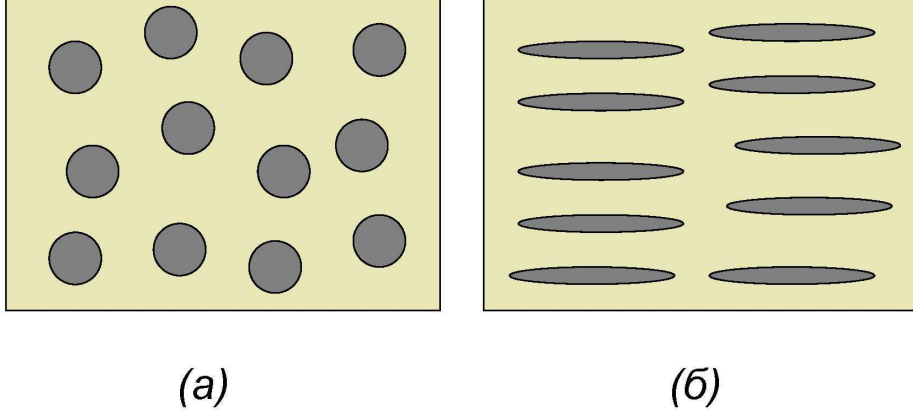


Рис. 2: Нано-композитная система со сферическими (а) и иглообразными (б) гранулами металла, внедренными в диэлектрик.

липсоидальной формы

$$\frac{\bar{\epsilon} - \epsilon_0}{\epsilon_0} = p \frac{\epsilon_1 - \epsilon_0}{A\epsilon_0 + B\epsilon_1}, \quad (2)$$

где  $A = 1 - B$  и

$$B = \frac{abc}{2} \int_0^\infty \frac{dx}{(x+a^2)^{3/2}(x+b^2)^{1/2}(x+c^2)^{1/2}}, \quad (3)$$

если электрическое поле  $\mathbf{E}$  направлено вдоль оси  $a$  эллипсоида.

В реальной ситуации металлические гранулы не являются строго сферическими; для моделирования такой ситуации можно принять, что гранулы имеют форму эллипсоида, соотношение полуосей которого является флуктуирующей величиной. Тогда при  $\epsilon_1 \gg \epsilon_0$  имеем

$$\frac{\bar{\epsilon} - \epsilon_0}{\epsilon_0} \approx p \langle B^{-1} \rangle - p \langle B^{-2} \rangle \frac{\epsilon_0}{\epsilon_1} \quad (4)$$

( $\langle \dots \rangle$  — усреднение по флуктуациям), т.е. структура формулы (1) сохраняется, но изменяются коэффициенты пропорциональности.

Заметим, что параметр  $B$  уменьшается при возрастании  $a$  по сравнению с  $b$  и  $c$ . В пределе сильно вытянутого эллипсоида ( $a \gg b \sim c$ ) имеем  $B \rightarrow 0$  и формула (2) принимает вид

$$\frac{\bar{\epsilon} - \epsilon_0}{\epsilon_0} = p \frac{\epsilon_1 - \epsilon_0}{\epsilon_0}, \quad (5)$$

т.е. оптимальные условия для наблюдения возникают для гранул иглообразной формы (рис.2,б).

При этом может быть обеспечена малость параметра  $p$  (необходимая для применимости формулы (2) и прозрачной интерпретации эксперимента) и ее компенсация большим параметром  $\epsilon_1/\epsilon_0$ ; в результате эффект оказывается порядка единицы и даже больше. Такие системы могут быть получены на основе канадского асбеста (chrysotile asbestos), представляющего собой стопку параллельных нанотрубок [13] с диаметром пор порядка  $5nm$ ; поскольку длина гранул должна быть существенно больше<sup>3</sup>, то потребуются работа в микельвиновой области температур.

4. В связи с последним отметим одну экзотическую возможность. Если вращая сосуд со сверхтекучим гелием, создать в нем систему вихрей, а затем впрыскивать в него металлические атомы, то последние садятся на коры вихрей, образуя нанопроволочки [15]. Регулируя длину последних, можно в принципе создать желаемую систему (рис.3). В этом случае концентрация металлической фазы конечно ограничена ( $p \lesssim 10^{-12}$ ), однако при достаточно низких температурах можно работать с большими масштабами  $L$  и как следствие — с огромными значениями диэлектрической проницаемости  $\epsilon_1$ .

Параметр  $B$  стремится к нулю и для гранул блинообразной формы ( $a \sim b \gg c$ ), плоскость которых ориентирована вдоль электрического поля; в этом случае также применима формула (5).

<sup>3</sup>Эта длина может достигать 1мм [14].

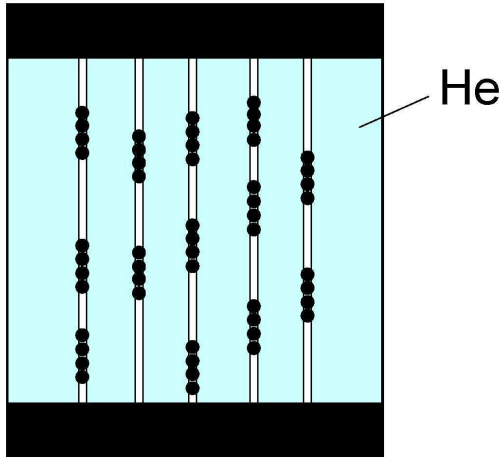


Рис. 3: Экзотическая реализация системы, представленной на рис.2,б. При вращении сосуда со сверхтекучим гелием возникают параллельно ориентированные вихри, на которые садятся металлические атомы, впрыскиваемые в гелий.

В частности, она применима к ситуации, соответствующей Рис.1, где объемная концентрация  $p$  является по необходимости малой.

Из сказанного ясно, что закон Березинского является в принципе наблюдаемым, но в каждом из рассмотренных случаев имеются экспериментальные трудности. Последнее, впрочем, естественно, так как в противном случае этот закон был бы давно обнаружен экспериментально.

Автор признателен С. В. Демишеву, Е. Ю. Королевой, П. И. Арсееву, Е. Б. Гордону, Ф. А. Пуднину за обсуждения и оргкомитету XIII конференции "Проблемы физики твердого тела и высоких давлений" за предоставление условий для таких дискуссий.

## Список литературы

- [1] В. Л. Березинский, ЖЭТФ 65, 1251 (1973).
- [2] D. Vollhardt, P. Wölfle, Phys. Rev. B **22**, 4666 (1980); Phys. Rev. Lett. **48**, 699 (1982).
- [3] И. М. Суслов, ЖЭТФ **142**, 1020 (2012).
- [4] L. P. Levy, G. Dolan, J. Dunsmuir, H. Bouchiat, Phys. Rev. Lett. **64**, 2074 (1990).

- [5] H. Bluhm, N. Koshnick, J. Bert, et al, Phys. Rev. Lett. **102**, 136802 (2009).
- [6] A. C. Bleszynski-Jayich, W. E. Shanks, B. Peaudecerf, et al, Science **326**, 272 (2009).
- [7] M. Buttiker, Y. Imry, R. Landauer, Phys. Lett. A **96**, 365 (1983).
- [8] У. Харрисон, Псевдопотенциалы в теории металлов, Мир, 1968.
- [9] I. V. Golosovsky, R. G. Delaplane, A. A. Naberezhnov, Yu. A. Kumzerov, Phys. Rev. B **69**, 132301 (2004).
- [10] Г. Х. Панова, А. А. Набережнов, А. В. Фокин, ФТТ **50**, 1317 (2008).
- [11] С. Б. Вахрушев, И. В. Голосовский, Е. Ю. Королева и др., ФТТ **50**, 1489 (2008).
- [12] Л. Д. Ландау, Е. М. Лифшиц, Электродинамика сплошных сред. Москва, Наука, 1982.
- [13] E. Mamontov, S. B. Vakhrushev, Yu. A. Kumzerov, et al, Solid State Communications **149**, 589 (2009).
- [14] S. V. Zaitsev-Zotov, Yu. A. Kumzerov, Yu. A. Firsov, et al, JETP Letters **77**, 1209 (2003).
- [15] Е. Б. Гордон, А. В. Карабулин, В. И. Матюшенко и др., ЖЭТФ **139**, 1209 (2011).